

(12) DEMANDE INTERNATIONALE PUBLIÉE EN VERTU DU TRAITÉ DE COOPÉRATION
EN MATIÈRE DE BREVETS (PCT)(19) Organisation Mondiale de la Propriété
Intellectuelle
Bureau international(43) Date de la publication internationale
23 juin 2005 (23.06.2005)

PCT

(10) Numéro de publication internationale
WO 2005/057838 A1(51) Classification internationale des brevets⁷ : H04L 1/06(21) Numéro de la demande internationale :
PCT/FR2004/003107(22) Date de dépôt international :
2 décembre 2004 (02.12.2004)

(25) Langue de dépôt : français

(26) Langue de publication : français

(30) Données relatives à la priorité :
0314272 4 décembre 2003 (04.12.2003) FR(71) Déposant (pour tous les États désignés sauf US) :
FRANCE TELECOM [FR/FR]; 6, place d'Alleray,
F-75015 Paris (FR).

(72) Inventeurs; et

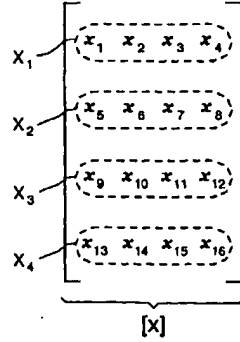
(75) Inventeurs/Déposants (pour US seulement) : LE NIR,
Vincent [FR/FR]; 59, boulevard de Strasbourg, F-35000
Rennes (FR). HELARD, Maryline [FR/FR]; 5, rue
Charles Demange, F-35700 Rennes (FR). GOUPIL, Al-
ban [FR/FR]; 11, Avenue Janvier, F-35000 Rennes (FR).(74) Mandataire : WINDAL-VERCASSON, Gaëlle; Cabinet
Vidon, 16B, rue de Jouanet, BP 90333, F-35703 Rennes
Cedex 7 (FR).(81) États désignés (sauf indication contraire, pour tout titre de
protection nationale disponible) : AE, AG, AL, AM, AT,
AU, AZ, BA, BB, BG, BR, BW, BY, BZ, CA, CH, CN, CO,
CR, CU, CZ, DE, DK, DM, DZ, EC, EE, EG, ES, FI, GB,
GD, GE, GH, GM, HR, HU, ID, IL, IN, IS, JP, KE, KG,
KP, KR, KZ, LC, LK, LR, LS, LT, LU, LV, MA, MD, MG,
MK, MN, MW, MX, MZ, NA, NI, NO, NZ, OM, PG, PH,*[Suite sur la page suivante]*

(54) Title: METHOD FOR THE MULTI-ANTENNA TRANSMISSION OF A LINEARLY-PRECODED SIGNAL, CORRESPONDING DEVICES, SIGNAL AND RECEPTION METHOD

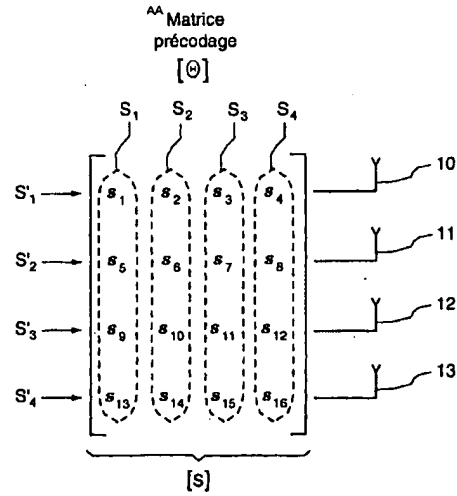
(54) Titre : PROCEDE D'EMISSION MULTI-ANTENNES D'UN SIGNAL PRECODE LINÉAIREMENT, PROCEDE DE RECEPTION, SIGNAL ET DISPOSITIFS CORRESPONDANTS



WO 2005/057838 A1



AA ... PRECODING MATRIX



(57) Abstract: The invention relates to a method for the transmission of a signal formed by vectors, each vector comprising N source symbols to be transmitted, using M transmission antennas, wherein M is greater than or equal to 2. The inventive method comprises the following steps consisting in: linearly precoding the signal using a matrix product of a source matrix formed by vectors that are organised in successive lines by a linear precoding matrix, delivering a precoded matrix; and successively transmitting precoded vectors corresponding to columns of said precoded matrix, the M symbols of each precoded vector being distributed to the M antennas.

[Suite sur la page suivante]



PL, PT, RO, RU, SC, SD, SE, SG, SK, SL, SY, TJ, TM, TN,
TR, TT, TZ, UA, UG, US, UZ, VC, VN, YU, ZA, ZM, ZW.

(84) États désignés (*sauf indication contraire, pour tout titre de protection régionale disponible*) : ARIPO (BW, GH,
GM, KE, LS, MW, MZ, NA, SD, SL, SZ, TZ, UG, ZM,
ZW), eurasien (AM, AZ, BY, KG, KZ, MD, RU, TJ, TM),
européen (AT, BE, BG, CH, CY, CZ, DE, DK, EE, ES, FI,
FR, GB, GR, HU, IE, IS, IT, LT, LU, MC, NL, PL, PT, RO,
SE, SI, SK, TR), OAPI (BF, BJ, CF, CG, CI, CM, GA, GN,
GQ, GW, ML, MR, NE, SN, TD, TG).

Publiée :

- avec rapport de recherche internationale
- avant l'expiration du délai prévu pour la modification des revendications, sera republiée si des modifications sont reçues

En ce qui concerne les codes à deux lettres et autres abréviations, se référer aux "Notes explicatives relatives aux codes et abréviations" figurant au début de chaque numéro ordinaire de la Gazette du PCT.

(57) Abrégé : L'invention concerne un procédé d'émission d'un signal formé de vecteurs comprenant chacun N symboles source à émettre, et mettant en oeuvre M antennes d'émission, où M est supérieur ou égal à 2. Selon l'invention on réalise un précodage linéaire dudit signal, mettant en oeuvre un produit matriciel d'une matrice source, formée desdits vecteurs organisés en lignes successives, par une matrice de précodage linéaire, délivrant une matrice précodée, et on émet successivement des vecteurs précodés correspondant à des colonnes de ladite matrice précodée, les M symboles de chaque vecteur précodé étant distribués sur lesdites M antennes.

**Procédé d'émission multi-antennes d'un signal précodé linéairement,
procédé de réception, signal et dispositifs correspondants.**

1. Domaine de l'invention

Le domaine de l'invention est celui des communications numériques sans fil. Plus précisément, l'invention concerne l'émission/réception d'un signal, mettant en œuvre une matrice de précodage, dans le cadre d'un système multi-antennes de type MIMO (de l'anglais « Multiple Input Multiple Output » pour « Entrées Multiples Sorties Multiples »), encore appelé « BLAST » (de l'anglais « Bell Laboratories Layered Space-Time » pour « système spatio-temporel par couche des laboratoires Bell »).

L'invention trouve des applications dans le domaine des radiocommunications, notamment pour les systèmes de troisième, quatrième générations et suivantes.

2. Solutions de l'art antérieur

Plusieurs systèmes d'émission/réception, comprenant de multiples antennes sont déjà bien connus. Certains de ces systèmes utilisent un codage espace-temps, qui permet d'exploiter au mieux leur diversité spatio-temporelle. Cependant, l'efficacité spectrale de ces codes espace-temps est limitée.

Certains travaux ont alors conduit à l'étude de systèmes « spatio-temporel par couches » (ou LST de l'anglais « Layered Space-Time »), utilisant des techniques de multiplexage spatial, qui permettent d'obtenir des systèmes dont la capacité croît linéairement avec le nombres d'antennes émettrices et réceptrices.

Ainsi, Foschini, dans "Layered Space-Time Architecture for Wireless Communication in a Fading Environment When Using Multiple Antennas" (Bell Laboratories Technical Journal, Vol.1, No.2, Autumn, 1996, pp. 41-59) a présenté un premier système à multiplexage spatial, ayant pour but d'augmenter la capacité des systèmes de transmission. Pour cela, il a décrit une architecture « BLAST » diagonale (notée « D-BLAST ») dans laquelle les symboles codés ou non et entrelacés de chaque couche sont transmis successivement par chacune des antennes d'émission.

Wolniansky, Foschini, Golden et Valenzuela, dans "V-BLAST: An Architecture for Realizing Very High Data Rates Over the Rich-Scattering Wireless Channel" (Proc. ISSSE-98, Pisa, Italy, Sept .29, 1998), ont ensuite simplifié cette technique en modifiant l'architecture du système « BLAST » initial 5 en un système vertical (« V-BLAST ») sans codage, et en utilisant en réception un algorithme d'annulation d'interférence avec un critère de forçage à zéro (ou ZF de l'anglais « Zero Forcing »). Cette architecture verticale procède tout simplement à un démultiplexage de la chaîne d'informations en sous-chaînes, chacune d'entre elles étant transmise par son antenne respective.

10 Par la suite, Baro, Bauch, Pavlic et Semmler ("Improving BLAST Performance using Space-Time Block Codes and Turbo Decoding", Globecom 2000, November 2000) ont envisagé de combiner les codes espace-temps et le turbo-décodage aux systèmes de type V-BLAST.

Enfin, Ma et Giannakis ("Full-Diversity Full-Rate Complex-Field Space-15 Time Coding", IEEE Transactions on Signal Processing 2003) ont présenté une technique combinant un précodage linéaire avec les techniques MIMO de multiplexage spatial à l'émission. Dans cette technique, le précodage linéaire s'effectue en utilisant des matrices de précodage particulières basées sur des matrices de Vandermonde, les différents symboles à l'émission étant émis 20 cycliquement. Le décodage en réception s'effectue selon un détecteur à Maximum de Vraisemblance.

3. Inconvénients de l'art antérieur

Un premier inconvénient de la technique « BLAST » de mutliplexage spatial proposée par Foschini est sa complexité de décodage.

25 Un autre inconvénient de cette technique, ensuite transformée en « V-BLAST », est que la diversité spatiale maximale des systèmes n'est pas exploitée.

La technique envisagée par Baro, Bauch, Pavlic et Semmler et consistant à combiner les codes espace-temps avec le système V-BLAST présente quant à elle l'inconvénient que la capacité maximale du système n'est pas exploitée.

Par ailleurs, ces différentes techniques de l'art antérieur ne permettent pas de traiter des canaux corrélos.

Ces différents inconvénients sont partiellement résolus par la technique de Ma et Giannakis, qui permet d'exploiter à la fois la diversité spatio-temporelle des 5 systèmes, grâce à un précodage linéaire, et leur capacité maximale.

Cependant un inconvénient majeur de cette technique est le récepteur utilisé, qui doit être de type Maximum de Vraisemblance, encore noté MV. Ces récepteurs MV sont complexes à mettre en œuvre, et limitent, du fait de leur complexité, la taille de la matrice de précodage au nombre d'antennes d'émission 10 du système.

4. Objectifs de l'invention

L'invention a notamment pour objectif de pallier ces inconvénients de l'art antérieur.

Plus précisément, un objectif de l'invention est de fournir une technique 15 d'émission et de réception multi-antennes d'un signal mettant en œuvre une matrice de précodage présentant des performances accrues par rapport aux systèmes de précodage de l'art antérieur.

Un autre objectif de l'invention est de mettre en œuvre une telle technique 20 de moindre complexité et plus stable numériquement que les techniques de l'art antérieur. Plus particulièrement, l'invention a pour objectif de fournir une telle technique qui ne nécessite pas de codes espaces-temps.

L'invention a encore pour objectif de mettre en œuvre une telle technique qui soit adaptée aux systèmes multi-antennes de type MIMO, tant pour des modulations de type monoporteuses que multiportées (OFDM et MC-CDMA).

25 L'invention a également pour objectif de fournir une telle technique permettant d'utiliser la capacité maximale du système MIMO et la diversité maximale du système.

L'invention a aussi pour objectif de mettre en œuvre une telle technique 30 qui présente des performances en taux d'erreur binaire améliorées par rapport à l'état de l'art, tout en proposant une solution de faible complexité en réception.

Encore un objectif de l'invention est de mettre en œuvre une telle technique qui permette de traiter des canaux multi-antennes corrélés en limitant la dégradation des performances et qui ne dépende pas de la modulation.

5. Caractéristiques essentielles de l'invention

5 Ces objectifs, ainsi que d'autres qui apparaîtront par la suite, sont atteints à l'aide d'un procédé d'émission d'un signal formé de vecteurs comprenant chacun N symboles source à émettre, et mettant en œuvre M antennes d'émission, où M est supérieur ou égal à 2.

10 Selon l'invention, on réalise un précodage linéaire dudit signal, mettant en œuvre un produit matriciel d'une matrice source, formée desdits vecteurs organisés en lignes successives, par une matrice de précodage linéaire, délivrant une matrice précodée, puis on émet successivement des vecteurs précodés correspondant à des colonnes de la matrice précodée, les M symboles de chaque vecteur précodé étant distribués sur les M antennes.

15 Ainsi, l'invention repose sur une approche tout à fait nouvelle et inventive de l'émission d'un signal, mettant en œuvre un précodage linéaire dans un système multi-antennes.

20 Plus précisément, l'invention propose d'effectuer un mapping espace-temps transposé, c'est-à-dire d'émettre sur les M antennes les symboles ayant subi le même précodage par colonne.

Cette solution diffère donc fortement de l'émission cyclique proposée par Ma et Giannakis, qui induisait une forte complexité en réception.

La technique de l'invention est particulièrement avantageuse puisqu'elle permet d'exploiter la capacité maximale du canal MIMO, étant donné qu'elle 25 n'utilise pas de codes espace-temps, et la diversité spatio-temporelle maximale, grâce au précodage linéaire.

Le nombre M d'antennes à l'émission correspond au nombre de vecteurs à émettre, ces vecteurs composant les différentes lignes de la matrice source.

Avantageusement, la matrice de précodage d'un tel procédé d'émission est 30 une matrice par blocs.

De façon préférentielle, la matrice de précodage est une matrice unitaire de taille supérieure ou égale à M.

Ainsi l'invention se distingue des techniques de l'art antérieur, puisque la taille de la matrice de précodage n'est pas toujours égale au nombre M d'antennes 5 d'émission. Comme on le verra dans la suite de ce document, ceci est rendu possible, selon l'invention, grâce à la mise en œuvre d'un décodage de faible complexité, qui permet donc un décodage simple, même avec de grandes matrices de précodage.

Cette matrice de précodage appartient au groupe comprenant les matrices 10 d'Hadamard, les matrices de type Spéciale Unitaire de taille 2x2, également noté SU(2), les matrices de Fourier, les matrices de Vandermonde, et, plus généralement, les matrices unitaires.

Dans un mode de réalisation avantageux de l'invention, la matrice de précodage est une matrice par blocs de la forme :

$$15 \quad \Theta_L = \sqrt{\frac{2}{L}} \begin{bmatrix} \Theta_{L/2} & \Theta_{L/2} \\ \Theta_{L/2} & -\Theta_{L/2} \end{bmatrix}^T$$

avec $\Theta_2 = \begin{bmatrix} e^{i\theta_1} \cos \eta & e^{i\theta_2} \sin \eta \\ -e^{-i\theta_1} \sin \eta & e^{-i\theta_2} \cos \eta \end{bmatrix}$

et $\eta = \frac{\pi}{4} + k \frac{\pi}{2}$, $\theta_2 = \theta_1 - \frac{\pi}{2}$, et pour $i \in [1,2]$, $\theta_i = \frac{\pi}{4} + k' \frac{\pi}{2}$ où k, k' sont des entiers relatifs.

L'invention concerne également un procédé de réception d'un signal émis 20 sur M antennes d'émission, où M est supérieur ou égal à 2, mettant en œuvre P antennes de réception, où P est supérieur ou égal à 2.

Selon l'invention, on reçoit sur les P antennes des vecteurs de réception que l'on répartit par colonnes dans une matrice de réception, les P symboles d'un vecteur de réception étant répartis sur les P antennes. Ensuite, le procédé met en œuvre un traitement de la matrice de réception, comprenant une étape de multiplication par une matrice de déprécodage linéaire représentative d'une matrice de précodage linéaire utilisée à l'émission, de façon à obtenir une matrice déprécodée permettant d'extraire une estimation des symboles source émis. 25

On notera que, pour une réception optimale, le nombre P d'antennes en réception est supérieur ou égal au nombre M d'antennes en émission.

Par « déprécodage », on entend ici, et dans toute la suite du document, une opération sensiblement inverse de l'opération de précodage réalisée à l'émission.

5 Dans un premier mode de réalisation, la matrice de déprécodage est la matrice transposée conjuguée de la matrice de précodage.

Dans ce cas, le signal émis étant véhiculé entre les M antennes d'émission et les P antennes de réception par un canal de transmission, on multiplie, lors du traitement, la matrice de réception par une matrice représentative de l'inverse du
10 canal de transmission, de façon à obtenir une matrice de symboles émis estimés.
On multiplie ensuite la matrice de symboles émis estimés par la matrice de déprécodage.

En effet, la mise en œuvre d'un système MIMO, comprenant une pluralité
15 d'antennes d'émission et une pluralité d'antennes de réception, induit l'existence
de différentes voies antennes d'émission/antennes de réception sur lesquelles
peuvent être transmises les informations utiles, ces différentes voies pouvant être
schématisées par une matrice de canal.

En réception, il faut inverser le codage canal estimé sur les différentes
voies, pour retrouver les symboles émis. En émettant l'hypothèse que le canal est
20 parfaitement connu du récepteur, il suffit de faire une inversion de la matrice de
canal.

Le procédé de réception comprend en particulier une étape préliminaire de
détection des M antennes d'émission mettant en œuvre un algorithme à annulation
successive.

25 Dans un second mode de réalisation, le signal émis étant véhiculé entre les
M antennes d'émission et les P antennes de réception par un canal de transmission,
la matrice de déprécodage est une matrice inverse d'une matrice globale associant
la matrice du canal et la matrice de précodage linéaire.

Dans ce mode de réalisation, le procédé de réception met en œuvre un
30 décodage avec ordonnancement, qui permet de décoder prioritairement les canaux

de meilleur rapport signal à bruit.

Dans ce cas, la matrice de déprécodage est déterminée par mise en œuvre d'un algorithme de décomposition de Cholesky, ce qui permet d'obtenir une méthode de décodage peu coûteuse en calculs et moins complexe que les 5 techniques de l'art antérieur.

Les techniques de type Maximum de Vraisemblance sont bien connues et satisfaisantes, mais complexes.

Pour le décodage de systèmes MIMO, l'utilisation d'une décomposition de Cholesky avec un critère de minimisation de l'erreur quadratique moyenne (ou 10 « MMSE » de l'anglais « Minimum Mean Square Error ») est totalement nouvelle et permet de résoudre cet inconvénient de complexité inhérent aux techniques de l'art antérieur.

Une alternative à la décomposition de Cholesky serait d'utiliser une décomposition QR avec le critère ZF. Cette technique est également peu 15 complexe, mais elle présente de moins bons résultats.

Selon une variante de l'invention, la matrice de déprécodage étant une matrice par blocs, le procédé de réception met en œuvre une minimisation de la distance par changement de symbole dans un bloc. Ceci améliore encore le décodeur de l'invention.

20 L'invention concerne aussi un signal formé de vecteurs émis successivement sur M antennes d'émission, où M est supérieur ou égal à 2, les M symboles de chaque vecteur étant distribués sur les M antennes. Selon l'invention, les vecteurs sont des vecteurs précodés correspondant à des colonnes d'une matrice précodée obtenue par produit matriciel d'une matrice de précodage 25 linéaire et d'une matrice source, formée de vecteurs source comprenant chacun N symboles source à émettre, les vecteurs source étant organisés dans ladite matrice source en lignes successives.

L'invention concerne également un dispositif d'émission d'un signal formé de vecteurs comprenant chacun N symboles source à émettre, et mettant en œuvre 30 M antennes d'émission, où M est supérieur ou égal à 2, pour un procédé

d'émission tel que décrit précédemment.

L'invention concerne encore un dispositif de réception d'un signal émis sur M antennes d'émission, où M est supérieur ou égal à 2, le dispositif comprenant P antennes de réception, où P est supérieur ou égal à 2, pour un procédé de 5 réception tel que décrit précédemment.

6. Liste des figures

D'autres caractéristiques et avantages de l'invention apparaîtront plus clairement à la lecture de la description suivante d'un mode de réalisation préférentiel, donné à titre de simple exemple illustratif et non limitatif, et des 10 dessins annexés, parmi lesquels :

- la figure 1 illustre un système à 4 antennes d'émission mettant en œuvre une matrice source X et une matrice de précodage Θ selon l'invention ;
- la figure 2A présente un système à 4 antennes de réception d'un signal émis selon le système de la figure 1, selon un premier mode de réalisation 15 de l'invention, dit « sans ordonnancement » ;
- la figure 2B présente un système à 4 antennes de réception d'un signal émis selon le système de la figure 1, selon un second mode de réalisation de l'invention, dit « avec ordonnancement » ;
- la figure 3 décrit les performances comparées des différents systèmes sans 20 précodage linéaire de l'art antérieur et avec un précodage linéaire selon l'invention, pour une matrice de précodage de taille 4 et une matrice de précodage de taille 256.

7. Description d'un mode de réalisation de l'invention

Le principe général de l'invention repose sur un nouveau système de 25 précodage linéaire à l'émission pour un système multi-antennes. Une matrice source, formée des vecteurs à émettre rangés en lignes successives, est multipliée par une matrice de précodage, de taille supérieure ou égale au nombre d'antennes à l'émission, pour former une matrice précodée. Chacun des symboles composant une même colonne de la matrice précodée est alors émis simultanément sur

chacune des antennes d'émission, chaque antenne émettant un symbole différent de la colonne de la matrice précodée.

On présente, en relation avec la figure 1, un système à 4 antennes d'émission mettant en œuvre une matrice source X et une matrice de précodage Θ 5 selon l'invention.

Par souci de simplification, on se limite ici, et dans toute la suite du document, à décrire le cas particulier d'une matrice source X et d'une matrice de précodage Θ carrées.

L'Homme du Métier étendra sans difficulté cet enseignement à tous types 10 de matrices X et Θ , étant entendu que le nombre de colonnes de X doit être égal au nombre de lignes de Θ , et que X doit compter M lignes, où M est le nombre d'antennes d'émission.

La matrice source X, qui comporte les informations à transmettre est formée de 4 vecteurs X_1, X_2, X_3, X_4 , formant les lignes de la matrice X.

15 Chaque vecteur X_i , pour $i=1$ à 4, est formé de 4 symboles : $X_1=[x_1 \ x_2 \ x_3 \ x_4]$, $X_2=[x_5 \ x_6 \ x_7 \ x_8]$, $X_3=[x_9 \ x_{10} \ x_{11} \ x_{12}]$, $X_4=[x_{13} \ x_{14} \ x_{15} \ x_{16}]$.

Le nombre total de symboles à émettre est donc de 16, ce qui correspond au nombre d'antennes d'émission M multiplié par le nombre L de lignes de la matrice de précodage Θ .

20 La matrice de précodage Θ est de taille 4x4. C'est une matrice par blocs.

Selon un mode de réalisation particulier, la matrice de précodage Θ est la

$$\text{suivante : } \Theta_L = \sqrt{\frac{2}{L}} \cdot \begin{bmatrix} \Theta_{L/2} & \Theta_{L/2} \\ \Theta_{L/2} & -\Theta_{L/2} \end{bmatrix}^T$$

avec $\Theta_2 = \begin{bmatrix} e^{i\theta_1} \cos \eta & e^{i\theta_2} \sin \eta \\ -e^{-i\theta_2} \sin \eta & e^{-i\theta_1} \cos \eta \end{bmatrix}$

et $\eta = \frac{\pi}{4} + k \frac{\pi}{2}$, $\theta_2 = \theta_1 - \frac{\pi}{2}$, et pour $i \in [1,2]$, $\theta_i = \frac{\pi}{4} + k' \frac{\pi}{2}$ où k, k' sont des

25 entiers relatifs.

Après multiplication de la matrice source X par la matrice de précodage Θ , une matrice précodée S est obtenue ($S=X.\Theta$).

La matrice S, de taille 4x4, est composée de 4 vecteurs S_i ($i=1$ à 4) :

$$S_1 = [s_1 \ s_5 \ s_9 \ s_{13}], S_2 = [s_2 \ s_6 \ s_{10} \ s_{14}], S_3 = [s_3 \ s_7 \ s_{11} \ s_{15}], S_4 = [s_4 \ s_8 \ s_{12} \ s_{16}].$$

Ces vecteurs S_i , encore appelés vecteurs précodés, correspondent à la multiplication de la matrice source X par une même colonne de la matrice de précodage Θ . Ainsi S_1 correspond au vecteur obtenu par la multiplication de la matrice source X par la première colonne de la matrice de précodage Θ , S_2 correspond au vecteur obtenu par la multiplication de la matrice source X par la deuxième colonne de la matrice de précodage Θ , et ainsi de suite pour les 4 colonnes de la matrice Θ .

A un instant donné, chacune des 4 antennes d'émission 10, 11, 12 et 13 émet alors un des symboles du même vecteur précodé S_i dans la même salve d'envoi.

Ainsi, la première antenne 10 émet à un instant T_0 le symbole s_1 du vecteur S_1 . Sensiblement au même instant T_0 , la deuxième antenne 11 émet le symbole s_5 du vecteur S_1 , la troisième antenne 12 émet le symbole s_9 du vecteur S_1 et la quatrième antenne 13 émet le symbole s_{13} du vecteur S_1 .

Les autres vecteurs précodés S_2 , S_3 et S_4 sont respectivement émis dans trois salves d'envoi correspondant aux temps T_1 , T_2 et T_3 .

Chacun des symboles d'un même vecteur précodé correspondant à la multiplication d'une matrice source X par une même colonne d'une matrice de précodage Θ est alors émis sur chacune des antennes d'émission, chaque antenne émettant un symbole différent du vecteur précodé.

Autrement dit, si on considère que la matrice S est formée de 4 vecteurs S_1' , S_2' , S_3' , S_4' organisés en lignes successives, c'est-à-dire $S_1' = [s_1 \ s_2 \ s_3 \ s_4]$, $S_2' = [s_5 \ s_6 \ s_7 \ s_8]$, $S_3' = [s_9 \ s_{10} \ s_{11} \ s_{12}]$, $S_4' = [s_{13} \ s_{14} \ s_{15} \ s_{16}]$, alors :

- 25 - les premiers symboles de chaque vecteur S_i' (pour $i=1$ à 4) sont envoyés sur les différentes antennes d'émission simultanément, s_1 sur la première antenne et s_{13} sur la dernière antenne ;
- les deuxièmes symboles de chaque vecteur S_i' sont envoyés sur les différentes antennes d'émission simultanément, s_2 sur la première antenne et s_{14} sur la dernière antenne ;

- cette opération est répétée jusqu'aux derniers symboles de chaque vecteur S_i' .

Finalement, le système transmet d'abord $[s_1 \ s_5 \ s_9 \ s_{13}]$ à un instant T_0 , puis $[s_2 \ s_6 \ s_{10} \ s_{14}]$ à T_1 , puis $[s_7 \ s_8 \ s_{11} \ s_{15}]$ à T_2 , et finalement $[s_4 \ s_8 \ s_{12} \ s_{16}]$ à T_3 .

5 On présente en relation avec les figures 2A et 2B un système à 4 antennes de réception.

Après transmission dans le canal MIMO, les signaux reçus sont constitués de vecteurs R_i (pour $i=1$ à 4) organisés en colonnes successives dans une matrice de réception R , où $R_1 = [r_1 \ r_5 \ r_9 \ r_{13}]$, $R_2 = [r_2 \ r_6 \ r_{10} \ r_{14}]$, $R_3 = [r_3 \ r_7 \ r_{11} \ r_{15}]$, $R_4 = [r_4 \ r_8 \ r_{12} \ r_{16}]$.

10 Ainsi la matrice de réception R est formée des symboles $[r_1 \ r_5 \ r_9 \ r_{13}]$ reçus sensiblement au même instant T_0' , en fonction des longueurs des trajets sur chacune des voies antennes d'émission/antennes de réception, sur les 4 antennes de réception (r_1 sur la première antenne 20, r_5 sur la deuxième antenne 21, r_9 sur la troisième antenne 22 et r_{13} sur la quatrième antenne 23), des symboles $[r_2 \ r_6 \ r_{10} \ r_{14}]$ reçus sensiblement au même instant T_1' sur les 4 antennes de réception comme décrit précédemment, ainsi que des symboles $[r_3 \ r_7 \ r_{11} \ r_{15}]$ et $[r_4 \ r_8 \ r_{12} \ r_{16}]$ reçus aux temps T_2' et T_3' .

20 Selon un premier mode de réalisation illustré en figure 2A, on procède selon une technique dite « sans ordonnancement » (de l'anglais « ordering »). On commence tout d'abord par inverser le codage canal estimé sur les différentes voies antennes d'émission / antennes de réception, de façon à retrouver les symboles émis estimés.

25 Ainsi un algorithme à annulation successive est mis en œuvre pour détecter les différentes antennes d'émission.

Cet algorithme est le suivant :

$$\begin{aligned} r &= sH \\ R_r &= HH^H + \sigma^2 I \\ a &= rH^H \\ b &= R_r^{-1}a = \frac{sHH^H}{HH^H + \sigma^2 I} \end{aligned}$$

30 avec :

- r correspond aux symboles reçus sur les P antennes de réception, soit à la matrice de réception R ;
- H est le canal de taille ($M \times P$) ;
- σ^2 le rapport signal sur bruit moyen des antennes de réception ;
- 5 - R , la matrice d'autocorrélation ;
- a correspond à différents vecteurs de taille M selon l'équation décrite ci-dessus ;
- b correspond d'abord aux estimées des différents vecteurs de symboles émis $[s_1 \ s_5 \ s_9 \ s_{13}]$, puis aux estimées des symboles émis $[s_2 \ s_6 \ s_{10} \ s_{14}]$, ensuite aux estimées des symboles émis $[s_3 \ s_7 \ s_{11} \ s_{15}]$, et 10 finalement aux estimées des symboles émis $[s_4 \ s_8 \ s_{12} \ s_{16}]$,
- l'exposant H signifie transposée conjuguée.

Cet algorithme s'apparente à un décodage V-BLAST comme décrit dans “Improving BLAST Performance using Space-Time Block Codes and Turbo Decoding”, Globecom 2000, November 2000 (Baro, Bauch, Pavlic et Semmler) au sens de la minimisation de l'erreur quadratique moyenne (MMSE) permettant de retrouver les estimées \hat{S}_i des vecteurs S_i émis, pour i allant de 1 à 4.

Il revient à multiplier la matrice de réception R par une matrice représentative de l'inverse du canal de transmission.

20 Les vecteurs reçus sont ensuite réordonnés de manière à retrouver les estimées des vecteurs émis S_1, S_2, S_3, S_4 ou encore S'_1, S'_2, S'_3, S'_4 , ces vecteurs estimés étant nommés $\hat{S}_1 = [\hat{s}_1 \ \hat{s}_2 \ \hat{s}_3 \ \hat{s}_4]$, $\hat{S}_2 = [\hat{s}_5 \ \hat{s}_6 \ \hat{s}_7 \ \hat{s}_8]$, $\hat{S}_3 = [\hat{s}_9 \ \hat{s}_{10} \ \hat{s}_{11} \ \hat{s}_{12}]$ et $\hat{S}_4 = [\hat{s}_{13} \ \hat{s}_{14} \ \hat{s}_{15} \ \hat{s}_{16}]$ et étant organisés en lignes successives dans une matrice appelée matrice de symboles estimés.

25 Le récepteur multiplie alors la matrice de symboles estimés obtenue \hat{S} par une matrice de déprécodage, cette matrice de déprécodage correspondant à la transposée conjuguée de la matrice de précodage Θ utilisée à l'émission (notée Θ^H en figure 2A), pour former une matrice déprécodée \hat{X} permettant d'extraire une estimation des symboles source émis.

La matrice de précodage Θ étant unitaire, la multiplication de la matrice de symboles estimés obtenue \hat{S} par la matrice de précodage transposée et conjuguée Θ^H revient à la multiplication de la matrice \hat{S} par la matrice Θ^{-1} inverse de la matrice de précodage Θ : $\hat{X} = \hat{S}\Theta^H = \hat{S}\Theta^{-1}$.

- 5 L'étape de déprécodage $\Theta^H = \Theta^{-1}$ est donc effectuée au niveau de chaque itération V-BLAST.

Selon un deuxième mode de réalisation illustré en figure 2B, l'inversion du codage canal et l'opération de déprécodage sont effectuées conjointement, en mettant en œuvre un algorithme de décomposition Cholesky, un tel algorithme 10 étant notamment décrit dans "Modified Decorrelating Decision-Feedback Detection of BLAST Space-Time System" (ICC 2002 ,Vol. 1, pp. 335-339, Apr-May 2002) de Wei Zha et Steven D. Blostein. Cette technique est dite « avec ordonnancement ».

Dans ce mode de réalisation, le récepteur multiplie la matrice de réception 15 R formée des vecteurs $R_1 = [r_1 \ r_5 \ r_9 \ r_{13}]$, $R_2 = [r_2 \ r_6 \ r_{10} \ r_{14}]$, $R_3 = [r_3 \ r_7 \ r_{11} \ r_{15}]$, $R_4 = [r_4 \ r_8 \ r_{12} \ r_{16}]$ organisés en colonnes successives, par l'inverse d'une matrice globale G, la matrice G correspondant à l'association de la matrice de canal et de la matrice de précodage Θ .

L'inverse de la matrice globale G, encore appelée matrice de déprécodage, 20 est effectuée en mettant en œuvre une décomposition de Cholesky, à l'intérieur de laquelle une opération d'ordonnancement est réalisée.

L'opération d'ordonnancement permet de prendre une décision d'abord sur le symbole ayant la plus forte puissance de la matrice globale G. Les symboles sont ainsi traités dans un ordre de puissance décroissant.

- 25 L'algorithme de Cholesky avec ordonnancement est le suivant :

$$\begin{aligned} R &= X\Theta H \\ R_r &= P_p(\Theta HH^H\Theta^H + \sigma^2 I)P_p^H \\ R_r &= LL^H \\ R_r^{-1} &= (L^H)^{-1}L^{-1} \\ x &= RH^H\Theta^H P_p^H \end{aligned}$$

$$y = x(L^H)^{-1}$$

$$z = P_p y L^{-1} = \frac{P_p X \Theta H H^H \Theta^H P_p^H}{P_p (\Theta H H^H \Theta^H + \sigma^2 I) P_p^H}$$

avec :

- r correspond aux symboles reçus sur les P antennes de réception,
- 5 soit à la matrice de réception R ;
- X correspond à la matrice source émise ;
- Θ est la matrice de précodage de taille 4×4 ;
- H la matrice de canal de taille 4×4 ;
- σ^2 le rapport signal sur bruit moyen des antennes de réception ;
- 10 R_r la matrice d'autocorrélation ;
- L la matrice triangulaire inférieure de la matrice d'autocorrélation R_r ;
- P_p la matrice de permutation selon un critère de maximum de puissance du symbole voulu sur l'interférence de cette matrice d'autocorrélation ;
- 15 x et y sont des vecteurs de taille 16 (le nombre d'antennes d'émission multiplié par le nombre de lignes de la matrice de précodage Θ).

A la réception, l'algorithme de décomposition de Cholesky permet au 20 récepteur d'obtenir directement un vecteur z de taille 16 (nombre d'antennes d'émission multiplié par le nombre de lignes de la matrice de précodage Θ) correspondant à l'estimation des symboles émis de la matrice source X dans une matrice déprécodée \hat{X} .

La décomposition de Cholesky est une décomposition très stable 25 numériquement.

Dans ce mode de réalisation, l'avantage du précodage est de décorrélérer les canaux s'ils sont corrélés.

La matrice de déprécodage étant une matrice par blocs, le système de réception peut encore être amélioré en utilisant une technique de minimisation de la distance par changement de symbole dans un bloc.

On présente désormais, en relation avec la figure 3, les performances 5 obtenues, selon l'invention, en utilisant une matrice de précodage de taille 4x4 et une matrice de précodage de taille 256x256.

Plus précisément, la figure 3 illustre les performances de l'invention selon le premier mode de réalisation sans ordonnancement, c'est-à-dire lorsque la matrice de déprécodage correspond à la transposée conjuguée de la matrice de 10 précodage, des systèmes utilisant un précodage linéaire selon l'invention étant comparés à un système sans précodage de l'art antérieur.

On peut observer un gain de 16.0 dB entre la courbe de référence, qui correspond à un système sans précodage, et la courbe avec précodage 256, qui correspond à un système utilisant une matrice de précodage de taille 256x256, 15 lorsque le taux d'erreur binaire (TEB) est de 10^{-4} , avec une efficacité spectrale de 8 bps/Hz, lorsqu'on utilise en réception des égaliseurs de type MMSE.

Ainsi l'invention améliore les performances à fort rapport signal à bruit, tout en conservant une complexité en $O(L^3)$, où L est la taille de la matrice de précodage, ou encore le nombre de lignes de la matrice de précodage si celle-ci 20 n'est pas carrée.

L'approche de Ma et Giannakis ("Full-Diversity Full-Rate Complex-Field Space-Time Coding", IEEE Transactions on Signal Processing 2003) de l'art antérieur, qui utilise également des matrices de précodage, ne permet pas quant à elle d'avoir une matrice de précodage de taille 256, car la méthode serait beaucoup 25 trop coûteuse en calcul. En effet, la complexité de cette approche est un facteur exponentiel en $O(M^L)$, où M correspond à la taille de la modulation.

Les performances de l'invention sont encore améliorées lorsque le second mode de réalisation avec ordonnancement est mis en œuvre en réception.

En effet, lorsque ce mode de réalisation avec ordonnancement est mis en 30 œuvre, on obtient avec une matrice de précodage de taille 4x4 des résultats

sensiblement identiques à ceux obtenus avec une matrice de précodage de taille 256 dans le mode de réalisation sans ordonnancement, c'est-à-dire un gain proche de 16.0 dB par rapport à une courbe de référence, qui correspond à un système sans précodage, lorsque le taux d'erreur binaire (TEB) est de 10^{-4} , avec une 5 efficacité spectrale de 8 bps/Hz.

Les performances du système s'améliorant lorsque la taille de la matrice de précodage augmente, on obtient de très bons résultats pour un système avec ordonnancement et une matrice de précodage de taille 256x256.

Ainsi, l'invention proposée permet un décodage moins complexe et moins 10 coûteux que les techniques de l'art antérieur, tout en présentant des performances améliorées.

Par ailleurs, la technique de l'invention est aussi bien adaptée pour les systèmes à modulations de type monoporteuse que pour les systèmes à modulations de type multi-porteuses (OFDM ou MC-CDMA par exemple).

15 Elle peut s'appliquer à tout système multi-antennes privilégiant l'exploitation de la capacité, et ce, même si les canaux multi-antennes sont corrélés.

REVENDICATIONS

1. Procédé d'émission d'un signal formé de vecteurs comprenant chacun N symboles source à émettre, et mettant en œuvre M antennes d'émission, où M est supérieur ou égal à 2,
 - 5 caractérisé en ce qu'on réalise un précodage linéaire dudit signal, mettant en œuvre un produit matriciel d'une matrice source, formée desdits vecteurs organisés en lignes successives, par une matrice de précodage linéaire, délivrant une matrice précodée,
 - 10 et en ce qu'on émet successivement des vecteurs précodés correspondant à des colonnes de ladite matrice précodée, les M symboles de chaque vecteur précodé étant distribués sur lesdites M antennes.
 2. Procédé d'émission selon la revendication 1, caractérisé en ce que ladite matrice de précodage est une matrice par blocs.
 3. Procédé d'émission selon l'une quelconque des revendications 1 et 2,
 - 15 caractérisé en ce que ladite matrice de précodage est une matrice unitaire de taille supérieure ou égale à M.
 4. Procédé d'émission selon l'une quelconque des revendications 1 à 3, caractérisé en ce que ladite matrice de précodage est de la forme :
- 20 $\Theta_L = \sqrt{\frac{2}{L}} \cdot \begin{bmatrix} \Theta_{L/2} & \Theta_{L/2} \\ \Theta_{L/2} & -\Theta_{L/2} \end{bmatrix}^T$
- avec $\Theta_2 = \begin{bmatrix} e^{i\theta_1} \cos \eta & e^{i\theta_2} \sin \eta \\ -e^{-i\theta_2} \sin \eta & e^{-i\theta_1} \cos \eta \end{bmatrix}$
- et $\eta = \frac{\pi}{4} + k \frac{\pi}{2}$, $\theta_2 = \theta_1 - \frac{\pi}{2}$, et pour $i \in [1, 2]$, $\theta_i = \frac{\pi}{4} + k' \frac{\pi}{2}$ où k, k' sont des entiers relatifs.
5. Procédé de réception d'un signal émis sur M antennes d'émission, où M est supérieur ou égal à 2, ledit procédé mettant en œuvre P antennes de réception, où 25 P est supérieur ou égal à 2,
 - caractérisé en ce qu'on reçoit sur lesdites P antennes des vecteurs de réception que l'on répartit par colonnes dans une matrice de réception, les P symboles d'un vecteur de réception étant répartis sur lesdites P antennes,

en ce qu'il met en œuvre un traitement de ladite matrice de réception comprenant une étape de multiplication par une matrice de déprécodage linéaire représentative d'une matrice de précodage linéaire utilisée à l'émission,
de façon à obtenir une matrice déprécodée permettant d'extraire une estimation
5 des symboles source émis.

6. Procédé de réception selon la revendication 5, caractérisé en ce que ladite matrice de déprécodage est la matrice transposée conjuguée de ladite matrice de précodage.

7. Procédé de réception selon la revendication 6, caractérisé en ce que, ledit signal émis étant véhiculé entre lesdites M antennes d'émission et lesdites P antennes de réception par un canal de transmission, on multiplie, lors dudit traitement, ladite matrice de réception par une matrice représentative de l'inverse dudit canal de transmission, de façon à obtenir une matrice de symboles émis estimés,
10 et en ce qu'on multiplie ensuite ladite matrice de symboles émis estimés par ladite matrice de déprécodage.

8. Procédé de réception selon l'une quelconque des revendications 6 et 7, caractérisé en ce qu'il comprend une étape préliminaire de détection desdites M antennes d'émission mettant en œuvre un algorithme à annulation successive.

9. Procédé de réception selon la revendication 5, caractérisé en ce que, ledit signal émis étant véhiculé entre lesdites M antennes d'émission et lesdites P antennes de réception par un canal de transmission, ladite matrice de déprécodage est une matrice inverse d'une matrice globale associant la matrice dudit canal et ladite matrice de précodage linéaire.
20

10. Procédé de réception selon la revendication 9, caractérisé en ce que ladite matrice de déprécodage est déterminée par mise en œuvre d'un algorithme de décomposition de Cholesky.
25

11. Signal formé de vecteurs émis successivement sur M antennes d'émission, où M est supérieur ou égal à 2, les M symboles de chaque vecteur étant distribués
30 sur lesdites M antennes,

caractérisé en ce que lesdits vecteurs sont des vecteurs précodés correspondant à des colonnes d'une matrice précodée obtenue par produit matriciel d'une matrice de précodage linéaire et d'une matrice source, formée de vecteurs source comprenant chacun N symboles source à émettre, lesdits vecteurs source étant
5 organisés dans ladite matrice source en lignes successives.

12. Dispositif d'émission d'un signal formé de vecteurs comprenant chacun N symboles source à émettre, et mettant en œuvre M antennes d'émission, où M est supérieur ou égal à 2,
caractérisé en ce qu'il comprend des moyens de précodage linéaire dudit signal,
10 mettant en œuvre un produit matriciel d'une matrice source, formée desdits vecteurs organisés en lignes successives, par une matrice de précodage linéaire, délivrant une matrice précodée,
et des moyens d'émission successive des vecteurs précodés correspondant à des colonnes de ladite matrice précodée, les M symboles de chaque vecteur précodé
15 étant distribués sur lesdites M antennes.

13. Dispositif de réception d'un signal émis sur M antennes d'émission, où M est supérieur ou égal à 2, ledit dispositif comprenant P antennes de réception, où P est supérieur ou égal à 2,
caractérisé en ce qu'il comprend des moyens de réception, sur lesdites P antennes,
20 de vecteurs de réception, et des moyens de répartition par colonnes desdits vecteurs de réception dans une matrice de réception, les P symboles d'un vecteur de réception étant répartis sur lesdites P antennes,
et en ce qu'il comprend des moyens de traitement de ladite matrice de réception comprenant des moyens de multiplication par une matrice de déprécodage linéaire
25 représentative d'une matrice de précodage linéaire utilisée à l'émission,
de façon à obtenir une matrice déprécodée permettant d'extraire une estimation des symboles source émis.

1/4

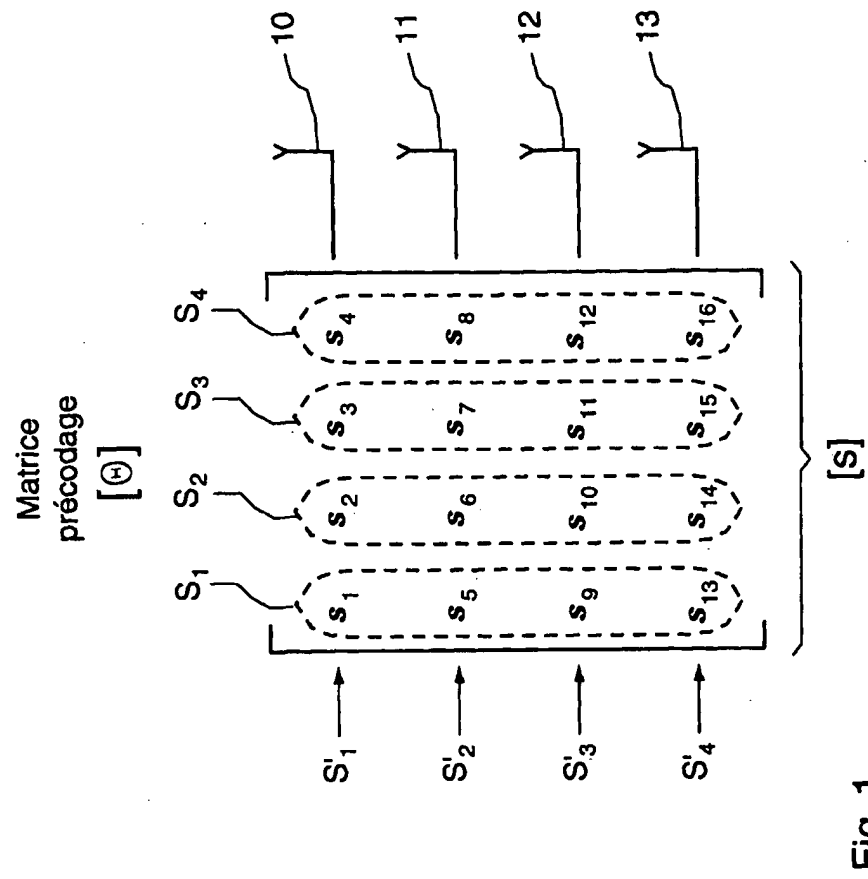
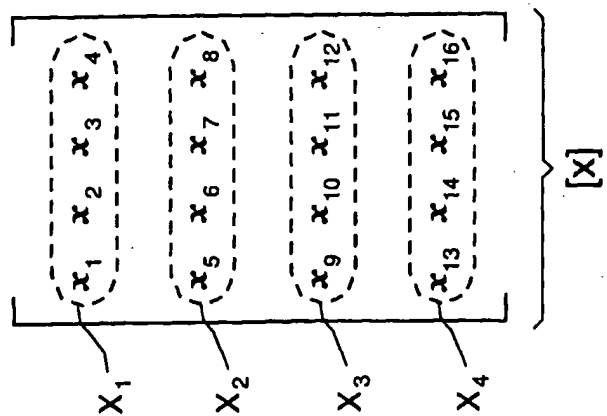
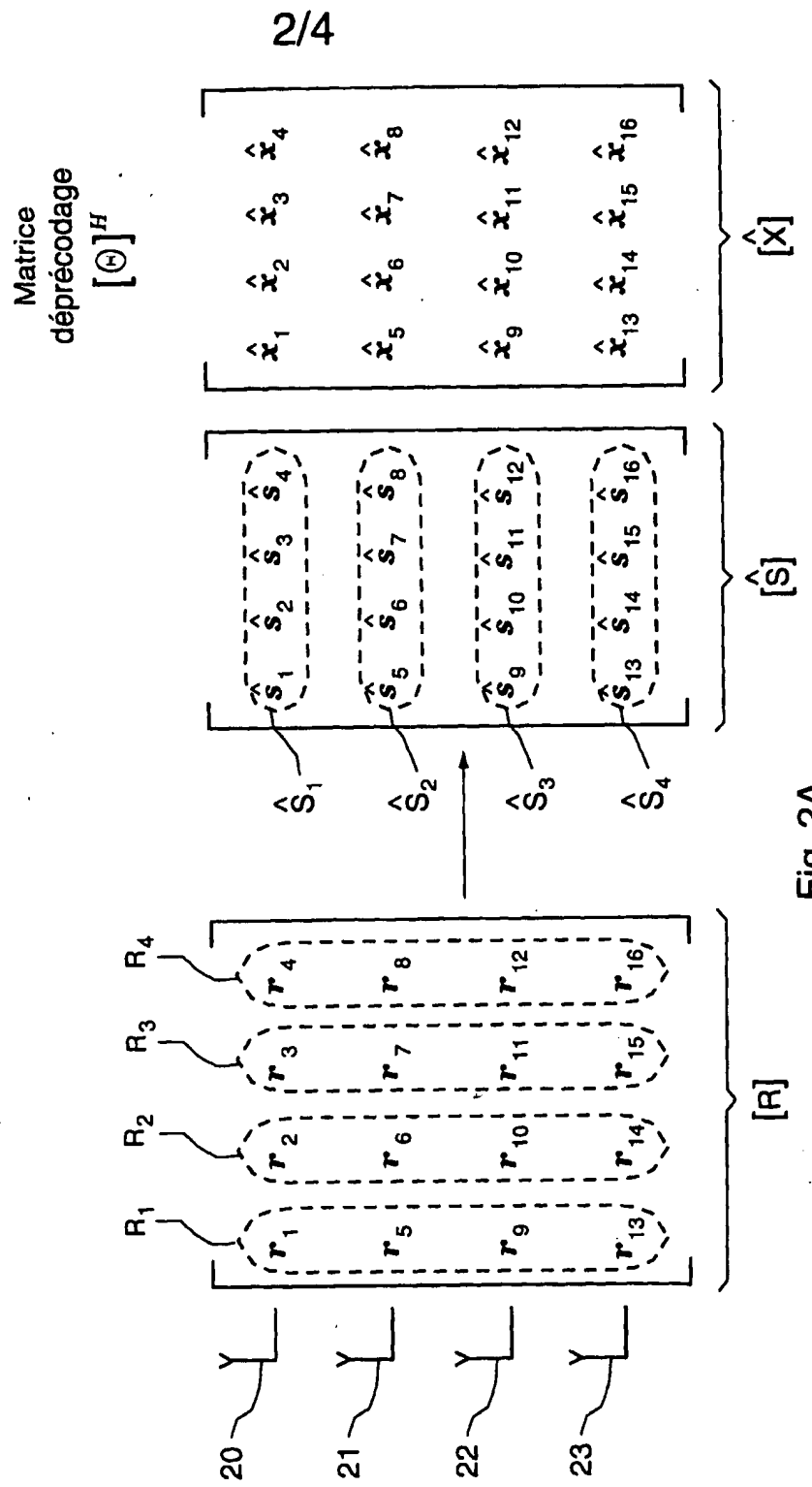
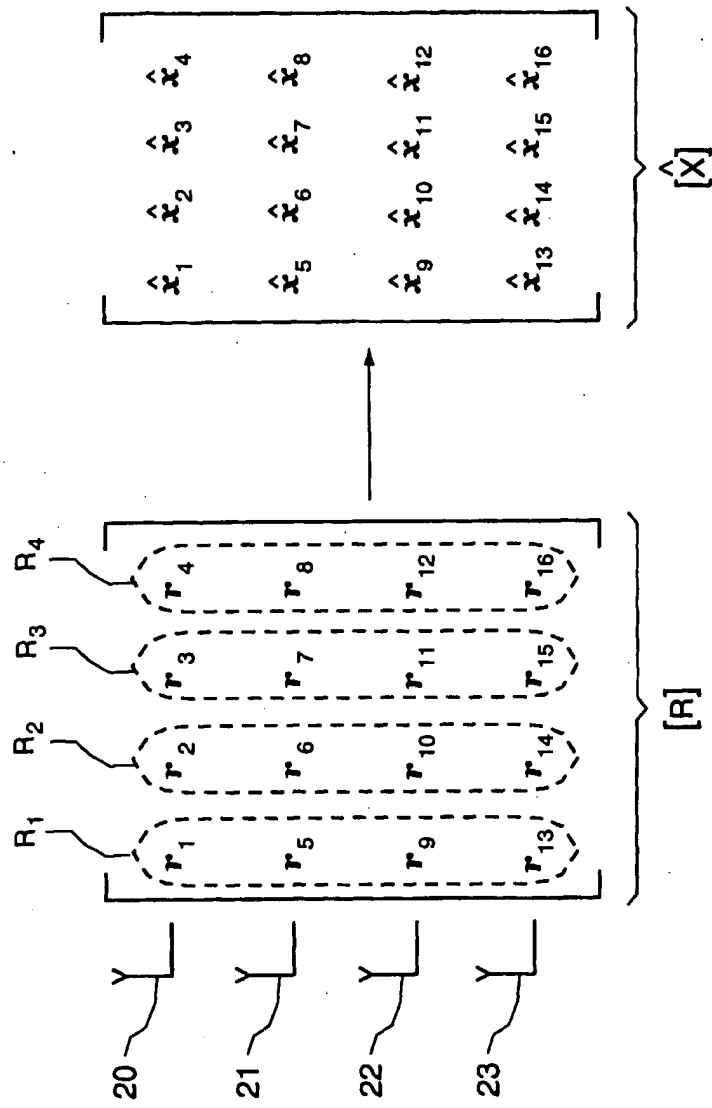


Fig. 1





3/4

Fig. 2B

4/4

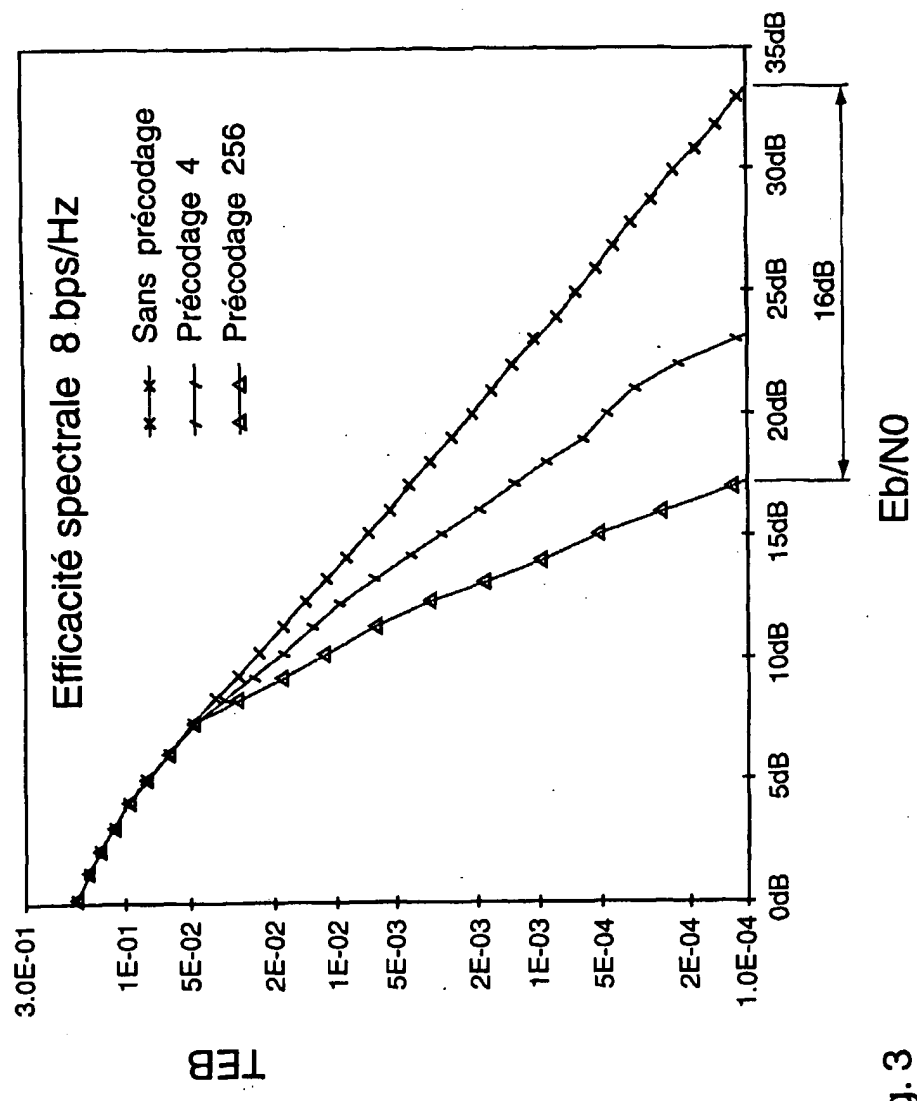


Fig. 3

INTERNATIONAL SEARCH REPORT

International Application No
PCT/FR2004/003107

A. CLASSIFICATION OF SUBJECT MATTER
IPC 7 H04L1/06

According to International Patent Classification (IPC) or to both national classification and IPC

B. FIELDS SEARCHED

Minimum documentation searched (classification system followed by classification symbols)
IPC 7 H04B H04L

Documentation searched other than minimum documentation to the extent that such documents are included in the fields searched

Electronic data base consulted during the international search (name of data base and, where practical, search terms used)

EPO-Internal, INSPEC, COMPENDEX

C. DOCUMENTS CONSIDERED TO BE RELEVANT

Category *	Citation of document, with indication, where appropriate, of the relevant passages	Relevant to claim No.
Y	US 2003/185310 A1 (BJERKE BJORN A ET AL) 2 October 2003 (2003-10-02) page 1, paragraphs 6,7 page 4, paragraph 52 - page 5, paragraph 65 figure 2 ----- LE NIR V ET AL: "Reduced-complexity space-time block coding and decoding schemes with block linear precoding" ELECTRONICS LETTERS, IEE STEVENAGE, GB, vol. 39, no. 14, 10 July 2003 (2003-07-10), pages 1066-1068, XP006020635 ISSN: 0013-5194 the whole document ----- -/-	1-13
Y		1-13

Further documents are listed in the continuation of box C.

Patent family members are listed in annex.

* Special categories of cited documents :

- *A* document defining the general state of the art which is not considered to be of particular relevance
- *E* earlier document but published on or after the international filing date
- *L* document which may throw doubts on priority claim(s) or which is cited to establish the publication date of another citation or other special reason (as specified)
- *O* document referring to an oral disclosure, use, exhibition or other means
- *P* document published prior to the international filing date but later than the priority date claimed

- *T* later document published after the international filing date or priority date and not in conflict with the application but cited to understand the principle or theory underlying the invention
- *X* document of particular relevance; the claimed invention cannot be considered novel or cannot be considered to involve an inventive step when the document is taken alone
- *Y* document of particular relevance; the claimed invention cannot be considered to involve an inventive step when the document is combined with one or more other such documents, such combination being obvious to a person skilled in the art.
- *&* document member of the same patent family

Date of the actual completion of the international search

27 April 2005

Date of mailing of the international search report

10/05/2005

Name and mailing address of the ISA

European Patent Office, P.B. 5818 Patentlaan 2
NL - 2280 HV Rijswijk
Tel. (+31-70) 340-2040, Tx. 31 651 epo nl.
Fax: (+31-70) 340-3016

Authorized officer

Yang, Y

INTERNATIONAL SEARCH REPORT

International Application No
PCT/FR2004/003107

C.(Continuation) DOCUMENTS CONSIDERED TO BE RELEVANT

Category	Citation of document, with indication, where appropriate, of the relevant passages	Relevant to claim No.
A	LIU Z ET AL: "Space-time coding for broadband wireless communications" WIRELESS COMMUNICATIONS AND MOBILE COMPUTING, XX, XX, vol. 1, no. 1, January 2001 (2001-01), pages 35-53, XP002210873 page 41, column 2, last paragraph - page 44, column 2, paragraph 1 -----	1-13

INTERNATIONAL SEARCH REPORT

Information on patent family members

International Application No
PCT/FR2004/003107

Patent document cited in search report	Publication date		Patent family member(s)	Publication date
US 2003185310	A1	02-10-2003	AU 2003223328 A1	13-10-2003
			CA 2480169 A1	09-10-2003
			EP 1488585 A2	22-12-2004
			WO 03084092 A2	09-10-2003

RAPPORT DE RECHERCHE INTERNATIONALE

Document Internationale No
PCT/FR2004/003107

A. CLASSEMENT DE L'OBJET DE LA DEMANDE
CIB 7 H04L1/06

Selon la classification internationale des brevets (CIB) ou à la fois selon la classification nationale et la CIB

B. DOMAINES SUR LESQUELS LA RECHERCHE A PORTE

Documentation minimale consultée (système de classification suivi des symboles de classement)
CIB 7 H04B H04L

Documentation consultée autre que la documentation minimale dans la mesure où ces documents relèvent des domaines sur lesquels a porté la recherche

Base de données électronique consultée au cours de la recherche internationale (nom de la base de données, et si réalisable, termes de recherche utilisés)

EPO-Internal, INSPEC, COMPENDEX

C. DOCUMENTS CONSIDERÉS COMME PERTINENTS

Catégorie	Identification des documents cités, avec, le cas échéant, l'indication des passages pertinents	no. des revendications visées
Y	US 2003/185310 A1 (BJERKE BJORN A ET AL) 2 octobre 2003 (2003-10-02) page 1, alinéas 6,7 page 4, alinéa 52 – page 5, alinéa 65 figure 2 ----- Y LE NIR V ET AL: "Reduced-complexity space-time block coding and decoding schemes with block linear precoding" ELECTRONICS LETTERS, IEE STEVENAGE, GB, vol. 39, no. 14, 10 juillet 2003 (2003-07-10), pages 1066-1068, XP006020635 ISSN: 0013-5194 le document en entier ----- -/-	1-13
		1-13



Voir la suite du cadre C pour la fin de la liste des documents



Les documents de familles de brevets sont indiqués en annexe

* Catégories spéciales de documents cités:

- *A* document définissant l'état général de la technique, non considéré comme particulièrement pertinent
- *E* document antérieur, mais publié à la date de dépôt international ou après cette date
- *L* document pouvant jeter un doute sur une revendication de priorité ou cité pour déterminer la date de publication d'une autre citation ou pour une raison spéciale (telle qu'indiquée)
- *O* document se référant à une divulgation orale, à un usage, à une exposition ou tous autres moyens
- *P* document publié avant la date de dépôt international, mais postérieurement à la date de priorité revendiquée

T document ultérieur publié après la date de dépôt international ou la date de priorité et n'appartenant pas à l'état de la technique pertinent, mais cité pour comprendre le principe ou la théorie constituant la base de l'invention

X document particulièrement pertinent; l'invention revendiquée ne peut être considérée comme nouvelle ou comme impliquant une activité inventive par rapport au document considéré isolément

Y document particulièrement pertinent; l'invention revendiquée ne peut être considérée comme impliquant une activité inventive lorsque le document est associé à un ou plusieurs autres documents de même nature, cette combinaison étant évidente pour une personne du métier

& document qui fait partie de la même famille de brevets

Date à laquelle la recherche internationale a été effectivement achevée

27 avril 2005

Date d'expédition du présent rapport de recherche internationale

10/05/2005

Nom et adresse postale de l'administration chargée de la recherche internationale
Office Européen des Brevets, P.B. 5818 Patentlaan 2
NL - 2280 HV Rijswijk
Tel. (+31-70) 340-2040, Tx. 31 651 epo nl.
Fax: (+31-70) 340-3016

Fonctionnaire autorisé

Yang, Y

RAPPORT DE RECHERCHE INTERNATIONALE

Date internationale No
PCT/FR2004/003107

C.(suite) DOCUMENTS CONSIDERES COMME PERTINENTS

Catégorie	Identification des documents cités, avec, le cas échéant, l'indication des passages pertinents	no. des revendications visées
A	LIU Z ET AL: "Space-time coding for broadband wireless communications" WIRELESS COMMUNICATIONS AND MOBILE COMPUTING, XX, XX, vol. 1, no. 1, janvier 2001 (2001-01), pages 35-53, XP002210873 page 41, colonne 2, dernier alinéa - page 44, colonne 2, alinéa 1 -----	1-13

RAPPORT DE RECHERCHE INTERNATIONALE

Renseignements relatifs aux membres de familles de brevets

Demande Internationale No

PCT/FR2004/003107

Document brevet cité au rapport de recherche	Date de publication	Membre(s) de la famille de brevet(s)	Date de publication
US 2003185310	A1	02-10-2003	AU 2003223328 A1
			CA 2480169 A1
			EP 1488585 A2
			WO 03084092 A2